

## TM 및 다면체 投影法의 比較考察

A Study on the Comparision Between Map  
Projection Methods of TM and Polyhedral

박 외 근 \*

Park wei - keun

### 要 旨

지형 및 공간에 관한 많은 양의 정보들은 축척 또는 활용목적 등에 따라 분류되어 다양한 형태의 지도로 만들어지고 있다. 그러나 단일 투영법을 근거로 생산되는 지도가 축척 및 활용목적 등의 다양한 요구조건을 만족시키는 데에는 적합하다고 할 수 없다. 따라서 본 논문에서는 중·대 축척인 1/50,000, 1/25,000, 1/5,000, 1/1,000 지도를 제작하는데 활용되고 있는 기존의 TM 투영법에 대해서 다면체 투영법과 비교·분석하여 다면체 투영법의 활용가능성을 확인해 보고자 하였다. 연구의 수행 방식은 타원체면에서 자오선 호장, 평행권 호장 그리고 타원체 면적을 계산하고, 이를 값을 TM과 다면체투영법을 활용하여 직교 평면에 투영하고 타원체 및 투영평면에서 투영 왜곡량을 산출하였다. 또한 지도의 축척별 오차의 허용범위를 규정하고, 두 가지의 투영법에 따른 왜곡량을 지도의 축척별 오차의 허용범위를 결정하였다.

### ABSTRACT

Much information on the terrain and the space has been depicted to maps of various form according to the map scale and the application. In Korea the base map system was made by only one projection method(Transvers Mercator projection). This is the reason to study this paper, because I think singular map projection method can't satisfy the various map scales and application. In this paper Meridian Arc Length, Parallel Arc Length of ellipsoid and the area of ellipsoidal surface — the length, the width and area of the map scale 1/50,000, 1/25,000, 1/5,000, 1/1,000, will be calculated and transformed to the plane length and area by Transvers Mercartor projection and Polyhedral projection. The projection distortion which came into existence on this occasion was compared and analyzed by this Paper. And Properties on TM and Polyhedral projection were understood. Lastly this paper intended to present suitable map projections according to the map scales and the purpose of use.

\* 포항 1 대학 토목과 교수

## 1. 서 론

지도투영이란 곡면인 지구표면을 투영평면 즉 지도상에 표현하는 작업을 말하고 그 방법을 투영법이라고 한다. 한편 지도의 투영이란 곡면인 지구 타원체상의 경·위선을 평면인 지도상에 어떻게 그대로 표현하는 과정에 있어서 거리, 면적 그리고 각도를 정확히 유지하도록 하여야 하나, 엄밀하게 세 가지 요소를 동시에 만족시키는 것은 불가능한 일이며, 이 세 가지 요소 중에서 어느 것을 정확하게 유지시키는가에 따라서 등거투영법, 등적투영법 그리고 등각투영법으로 구분된다. 그리고 투영면에 따른 투영법은 투영면을 평면, 원통, 원추 등을 쓰는가에 따라서 방위도법, 원통도법, 그리고 원추도법 등으로 구분된다.

근래 들어서 여러 분야에서 지도의 활용도가 다양해지고 있는 상황에서 본 연구에서는 원통, 원추도법에 근거한 TM 투영법과 다면체도법을 선택하여 투영계산을 실시한 후 투영의 왜곡량을 파악하고 투영법의 특성과 활용목적을 확인하기 위한 연구를 수행하였다. 연구의 수행에서 타원체는 베셀타원체(Bessel ellipsoid)를 기준으로 국가기본도 1:50,000, 1:25,000, 1/5,000 축척의 지형도와 국가지리정보체계(NGIS) 사업에서 수치지도 제작 중 가장 대축적 지도에 해당하는 1/1,000 수치지도 등을 선택하여 이들 지도의 종·횡선에 해당하는 타원체면의 자오선 호장, 평행권 호장 및 타원체 면적을 계산하고 타원체 및 투영평면과의 관계에서 투영왜곡량을 파악하였다. 또한 지도제작에 있어서 위치오차 및 인식오차에 의하여 계산되는 지도제작의 허용오차 범위를 규정하고 투영 왜곡량을 각 축척별 지도의 허용오차 범위와 비교·분석하여 TM 투영법의 투영왜곡에 대한 검증과 다면체 투영법의 활용가능성을 확인해 보고자 하였다.

## 2. 타원체 요소의 계산

TM 및 다면체 투영에 의하여 계산된 투영평면 및 타원체 요소와의 관계에서 투영 왜곡량을 계산하기 위

하여 우선적으로 타원체면에서 자오선 호장(Meridian Arc lengths), 평행권 호장(length of a Parallel arc) 및 면적(The Area on the surface of an ellipsoid) 등을 계산하였다.

### 2.1 자오선 및 평행권 호장의 계산

그림 2.1의 타원체 요소에서 타원체의 자오선 호장 계산은  $ds = M d\phi$  식으로 정의 될 수 있으며, 위도  $\Phi_1, \Phi_2$ 를 갖는 두 점 사이의 자오선 호장 계산은 식 (2.1)과 같은 적분식으로 표현된다.

$$s = \int_{\varphi_1}^{\varphi_2} M d\varphi = a(1 - e^2) \int_{\varphi_1}^{\varphi_2} \frac{d\varphi}{W^3} \quad (2.1)$$

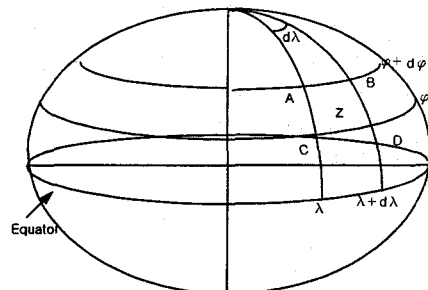


그림 2.1 타원체 요소

식에서  $M$  : 자오선곡률반경,  $\varphi$  : 위도,  $e$  : 타원체의 이심률,  $w = \sqrt{1 - e^2 \sin^2 \varphi}$ 이며,  $\frac{1}{W^3}$ 식을 MacLaurin 전개를 통하여 하여 A, B, C, D, E, F 등의 계수를 구하고 그 값은 식 (2.2)과 같다.<sup>1)</sup> 또한 타원체상의 자오선 호장 계산한 식 (2.3)에서  $\Phi_m = \frac{\Phi_1 + \Phi_2}{2}$ ,  $\Delta\Phi = \Phi_2 - \Phi_1$  을 의미한다.

$$A = 1 + \frac{3}{4} e^2 + \frac{45}{64} e^4 + \frac{175}{256} e^6 + \frac{11025}{16384} e^8 + \frac{43659}{65536} e^{10} + \dots$$

$$B = \frac{3}{4} e^2 + \frac{15}{16} e^4 + \frac{525}{512} e^6 + \frac{2205}{2048} e^8 + \frac{72765}{65536} e^{10} + \dots$$

## TM 및 다면체 投影法의 比較考察

$$C = \frac{15}{64} e^4 + \frac{105}{256} e^6 + \frac{2205}{4096} e^8 + \frac{10395}{16384} e^{10} + \dots$$

$$D = \frac{35}{512} e^6 + \frac{315}{2048} e^8 + \frac{31185}{131072} e^{10} + \dots$$

$$E = \frac{315}{16384} e^8 + \frac{3465}{65536} e^{10} + \dots$$

$$F = \frac{693}{131072} e^{10} + \dots$$

타원체 면적을 계산하면 식 (2.6)으로 정의된다.<sup>1)</sup>

$$Z = \frac{(\lambda_2 - \lambda_1)b^2}{2} \left[ \frac{\sin \varphi}{1 - e^2 \sin^2 \varphi} + \frac{1}{2e} \ln \frac{1 + e \sin \varphi}{1 - e \sin \varphi} \right] \Big|_{\varphi_1}^{\varphi_2} \quad (2.6)$$

### 3. 투영이론

$$\begin{aligned} S &= a(1 - e^2)[A\Delta\Phi - B\cos 2\Phi_m \sin \Delta\Phi + \frac{C}{2} \cos 4\Phi_m \sin 2\Delta\Phi \\ &\quad - \frac{D}{3} \cos 6\Phi_m \sin 3\Delta\Phi + \frac{E}{4} \cos 8\Phi_m \sin 4\Delta\Phi \\ &\quad - \frac{F}{5} \cos 10\Phi_m \sin 5\Delta\Phi + \dots] \end{aligned} \quad (2.3)$$

한편 평행권 호장의 계산은 동일 위도에서 호의 길이를 의미하며 그 계산은 식(2.4)로 정의된다. 식에서 N은 묘유선 곡률반경, P는 평행권 호장,  $\Delta\lambda$ 는 평행권에 있어서 경도의 차를 의미한다.

$$\begin{aligned} L &= P\Delta\lambda = N\cos\Phi\Delta\lambda \\ P &= N\cos\Phi \end{aligned} \quad (2.4)$$

### 2.2 타원체 면적의 계산

타원체에서 면적의 계산은 자오선 호장과 평행권 호장에 의하여 계산된다. 우선적으로 그림 2.1에서 타원체 면적을 표현하는 각 점 A, B, C, D로부터  $AC = BD = M d\Phi$  그리고  $CD = N \cos\Phi d\lambda$ 로 정의 할 수 있다. 따라서 타원체 미소면적을  $dZ$ 으로 표현한다  $dZ = CD \cdot BD = MN \cos\Phi \cdot d\Phi \cdot d\lambda$  가 된다. 한편 타원체 면적은 자오선에 대하여  $\lambda_1$ 와  $\lambda_2$  그리고 위선

에 대하여  $\Phi_1$ 와  $\Phi_2$  사이를 나타내고 있으며 이를 적분식으로 표현한다면 식 (2.5)와 같다.

$$Z = \int_{\lambda_1}^{\lambda_2} \int_{\Phi_1}^{\Phi_2} MN \cos\Phi \, d\Phi \, d\lambda \quad (2.5)$$

식에서 경도  $\lambda$ 에 대하여 적분을 수행하고 다시 자오선 곡률반경 및 묘유선 곡률반경 M, N 값을 대입하여

#### 3.1 TM 투영법

타원체에 대하여 원통을 횡방향으로 둘러씌우고 타원체면을 원통면상에 투영한 후 원통 면을 절개하면 투영평면이 얻어지는데 이와 같은 투영법을 횡원통도법 또는 횡멜카톨 도법(Transverse Mercator Projection)이라고 부른다. 하나의 횡원통을 지구타원체에 둘러 씌웠을 때 원통은 하나의 자오선에 접하게 되는데 이 자오선을 원자오선이라 하며, 자오선 방향을 X축, 자오선과 직교하는 방향을 Y 축으로 하여 원통을 펼쳐 평면직각좌표를 얻게 된다. 원자오선에 있어서 축척계수는 1.0000이고 Y축 방향에 따라 축척계수는 1.0000보다 커지므로 평면상의 거리가 타원체상의 거리보다 항상 커지게 된다. 가우스-크뤼거(Gauss-Krüger Projection) 투영법은 1912년 L. Krüger가 Gauss상사이중투영법을 개량, 발전시킨 것으로 회전타원체에서 평면으로 직접 투영하는 방식이며, 회전타원체면에서 구면으로 그리고 구면에서 평면으로 투영하는 가우스상사이중투영법(Gauss conformal double projection)에 비하여 수식전개가 간단하다. 타원체에서의 지리적 경위도( $\lambda, \varphi$ )로부터 평면직각좌표(x, y), 계산은 식 (3.1), (3.2)과 같이 정의된다.<sup>23)</sup>

$$\begin{aligned} x &= m_0 [B + \frac{4\lambda^2}{2} \cdot \frac{N}{\rho^2} \sin\Phi \cos\Phi + \frac{4\lambda^4}{24} \cdot \frac{N}{\rho^4} \sin\Phi \cos^3\Phi \\ &\quad + (5 - t^2 + 9\eta^2 + 4\eta^4) + \frac{4\lambda^6}{720} \cdot \frac{N}{\rho^6} \sin\Phi \cos^5\Phi \\ &\quad + (61 - 58t^2 + t^4 + 270\eta^2 - 330t^2\eta^2 + 445\eta^4 + 324\eta^6 \\ &\quad - 680\eta^4t^2 + 88\eta^8 - 600\eta^6t^2 - 192\eta^8t^2) \\ &\quad + \frac{4\lambda^8}{40320} \cdot \frac{N}{\rho^8} \sin\Phi \times \cos^7\Phi (1385 - 311t^2 + 543t^4 - t^6)] \end{aligned} \quad (3.1)$$

$$\begin{aligned}
 y = & m_0 [ A \lambda \cdot \frac{N}{\rho} \cos \Phi + \frac{A \lambda^3}{6} \cdot \frac{N}{\rho^3} \cos^3 \Phi (1 - t^2 + \eta^2) \\
 & + \frac{A \lambda^5}{120} \cdot \frac{N}{\rho^5} \cos^5 \Phi \times (5 - 18t^2 + t^4 + 14\eta^2 - 58t^2\eta^2 \\
 & + 13\eta^4 + 4\eta^6 - 64\eta^4t^2 - 24\eta^6t^6) \\
 & + \frac{A \lambda^7}{5040} \cdot \frac{\cos^7 \Phi}{\rho} (61 - 479t^2 + 179t^4 - t^6) ]
 \end{aligned}$$

$$\begin{aligned}
 H &= (\Phi_2 - \Phi_1) M_m : \text{도과의 높이 (경선의 호장)} \\
 N_1, N_2 : \Phi_1, \Phi_2 &\text{에 대한 횡곡률반경(N)} \\
 M_m : \Phi_m &= \frac{(\Phi_2 + \Phi_1)}{2} \quad \text{에 대한 자오선곡률반경} \\
 W &= \sqrt{1 - e^2 (\sin^2 \varphi)}, \quad N = \frac{a}{W} \\
 (3.2) \quad M &= \frac{a(1-e)}{W^3}, \quad e^2 = \frac{(a^2 - b^2)}{a^2}
 \end{aligned}$$

여기서 각도의 단위는 도, 분, 초 그리고  $\rho = 180/\pi \cdot 3600''$ 의 정수,  $t = \tan \Phi$ ,  $\eta^2 = 1 + e^2 \cdot \cos 2\Phi$ 를 의미한다.

### 3.2 다면체 도법

다면체 도법은 일정한 경·위도 차이에 의한 경선과 위선을 구획하고, 그 4모서리 점을 연결한 평면을 투영 평면으로 하여 지구의 중심에 시점을 두고 중심 투영을 실시하는 방법이다. 이때 각 도엽의 외과의 경위선은 바른 사다리꼴로 되며, 이 투영법은 엄밀하게 다원 추 투영으로 분류된다. 지리좌표에서 평면직각좌표로의 좌표변환( $\Phi, \lambda \rightarrow x, y$ )은 식(3.3)과 같으며, 그 역 계산( $x, y \rightarrow \Phi, \lambda$ )은 식(3.4)와 같다<sup>4)</sup>.

$$x = \frac{H(\Phi - \Phi_1)}{(\Phi_2 - \Phi_1)}, \quad y = L + \frac{X(\lambda - \lambda_1)}{(\lambda_2 - \lambda_1)}$$

(3.3)

$$\Phi = \Phi_1 + \frac{(\Phi_2 - \Phi_1)y}{H}$$

(3.4)

$$\lambda = \lambda_1 + \frac{(x - L)(\lambda_2 - \lambda_1)}{X}$$

$$X = \frac{A(\Phi_2 - \Phi) + B(\Phi - \Phi_1)}{\Phi_2 - \Phi_1}$$

(3.5)

$$L = \frac{(A - B)(\Phi - \Phi_1)}{2(\Phi_2 - \Phi_1)}$$

여기서,

$$J = (\lambda_2 - \lambda_1) N_1 \cos \Phi_1$$

$$K = (\lambda_2 - \lambda_1) N_2 \cos \Phi_2$$

이고, 수식에서 계수는  $x$ : 지점의 종좌표,  $y$ : 지점의 횡좌표,  $\varphi$ : 지점의 위도,  $\lambda$ : 지점의 경도, 원점(L) : 도과의 중심, J : 하변의 변장, K : 상변의 변장(A, B는 위선의 호장),  $\Phi_1$  : 하변의 위도,  $\Phi_2$  : 상변의 위도,  $\lambda_1$  : 좌변의 경도,  $\lambda_2$  : 우변의 경도를 의미한다.

### 4. 투영에 따르는 왜곡

넓은 지역에 대한 지도제작과 측량을 시행하는 경우에는 지구의 곡률을 고려하지 않으면 안되며, 이때 일정한 왜곡을 수반하지 않고 평면으로 표현하는 것은 불가능한 일이 다.<sup>5)</sup> 따라서 지도제작 및 측량을 실시하는 경우에는 곡률을 평면으로 표현하는 데에 필수적 으로 발생하는 왜곡을 반드시 고려해야 하는 것이다. 왜곡의 주된 대상은 투영에 의하여 자오선·경선(질이), 방위각 또는 위·경선이 만드는 교각 그리고 면적의 변형 등이다. 본 연구에서는 타원체면의 임의의 좌표( $\varphi, \lambda$ )와 이에 대응하는 지점의 좌표( $\varphi', \lambda'$ ) 사이의 거리와 타원체 면적이 평면상의 좌표 또는 면적으로 전개될 때에 발생하는 거리 및 면적의 왜곡, 즉 자오선의 왜곡과 평행권의 왜곡 및 타원체면과 투영평면과의 관계를 고려하였다.

#### 4.1 거리의 왜곡

타원체 상의 점 ( $\Phi, \lambda$ )가 투영평면 위에서 ( $X, Y$ )에 대응하는 경우 함수식은  $X = f(\Phi, \lambda)$ ,  $Y = g(\Phi, \lambda)$  가 되며 이를 미분 값으로 표현하면

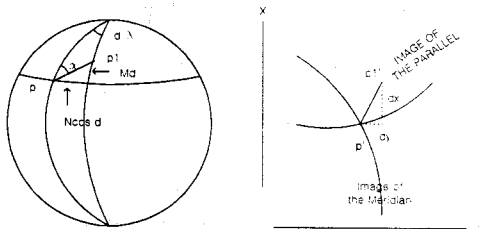
$$\begin{aligned} dx &= \frac{\partial f}{\partial \phi} d\phi - \frac{\partial f}{\partial \lambda} d\lambda \\ dy &= \frac{\partial g}{\partial \phi} d\phi + \frac{\partial g}{\partial \lambda} d\lambda \end{aligned} \quad (4.1)$$

또는

$$dx = f_\phi d\phi + f_\lambda d\lambda$$

$$dy = g_\phi d\phi + g_\lambda d\lambda$$

와 같다. 그림 4.1에서 두 점  $P, P_1$ 은 타원체 상의 두 점간의 거리를 표현하고 있으며, 이 두 점은 투영면의 점  $P', P'_1$ 과 대응한다. 이때 타원체면과 투영평면 상의 거리의 변형은  $\overline{PP_1} - \overline{P'P'_1}$ 로 표현 할 수 있으며, 거리의 변형률은  $m_A = \overline{P'P'_1}/\overline{PP_1}$  이고 이때  $m_A = 1$ 인 경우에는 거리의 왜곡이 없는 이상적인 상태를 의미한다.



&lt;타원체&gt;

&lt;투영평면&gt;

그림 4.1 거리의 왜곡

그림 4.1의 투영평면에서 거리는  $\overline{P'P'_1} = dY^2 + dX^2$ 로 표현되고 타원체면의 두 점 사이의 거리는  $(\overline{PP_1})^2 = (M d \varphi)^2 + (N \cos \varphi d\lambda)^2$ 이다.<sup>6)</sup> 따라서

$$m_A^2 = \frac{dX^2 + dY^2}{M^2 d\varphi^2 + N^2 \cos^2 \varphi d\lambda^2} \quad (4.2)$$

식(4.1)의 값을 식(4.2)에 대입하면

$$m_A^2 = \frac{(f_\varphi d\varphi + f_\lambda d\lambda)^2 + (g_\varphi d\varphi + g_\lambda d\lambda)^2}{M^2 d\varphi^2 + N^2 \cos^2 \varphi d\lambda^2} \quad (4.3)$$

이 되며, 수식의 전개를 통하여 거리의 왜곡을 표현하

는 식 (4.4)를 얻는다.

$$m_A^2 = m_1^2 \cos^2 \alpha - P \sin \alpha \cos \alpha - m_2^2 \sin^2 \alpha \quad (4.4)$$

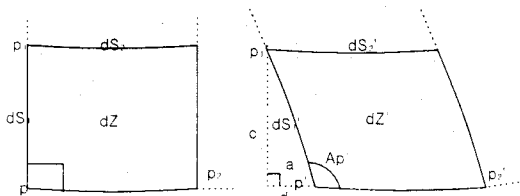
$$m_1^2 = \frac{f_\varphi^2 + g_\varphi^2}{M^2} \quad (4.5)$$

$$P = \frac{2(f_\varphi f_\lambda + g_\varphi g_\lambda)}{MN \cos \varphi} \quad (4.6)$$

$$m_2^2 = \frac{f_\lambda^2 + g_\lambda^2}{N^2 \cos^2 \varphi} \quad (4.7)$$

## 4.2 면적의 왜곡이론 정리

그림 4.2에서 타원체면과 투영평면의 면적을  $dZ, dZ'$ 이라 한다면, 타원체의 미소면적은  $dZ = ds_1 \times ds_2$ 로 계산되며, 투영면에서의 면적  $dZ'$ 는 두 변과 변 사이에 낸 각에 의하여  $dZ' = ds_1' \times ds_2' \times \sin A_p'$ 으로 계산된다. 이 때 면적의 왜곡은  $dZ - dZ'$ 의 값이며, 면적의 왜곡율은  $dZ'/dZ$ 으로 표현될 수 있다. 또한  $dZ'/dZ = 1$ 의 경우에는 면적의 왜곡이 전혀 일어나지 않은 것임을 알 수 있다.<sup>6)</sup>



&lt;타원체&gt;

&lt;투영평면&gt;

그림 4.2 면적의 왜곡

그러나 투영과정에서 면적의 왜곡은 필연적으로 발생하며 그 발생량은 식 (4.8)과 같다.

$$\begin{aligned} \frac{dZ'}{dZ} &= \frac{ds_1' \times ds_2' \times \sin A_p'}{ds_1 \times ds_2} \\ &= \frac{ds_1'}{ds_1} \times \frac{ds_2'}{ds_2} \times \sin A_p' \\ &= m_1 \times m_2 \times \sin A_p' \end{aligned} \quad (4.8)$$

식 (4.8)에서  $m_1$ 은 자오선 방향을 따르는 선형요소의 왜곡률을 표현하고 있고,  $m_2$ 는 위선방향을 따르는 선형요소의 왜곡률을 표현하는 값이다.

한편  $\alpha = 180 - A_{P'}$  일 때  $\tan \alpha = \frac{c}{d}$ ,  $\sin \alpha = \frac{c}{\sqrt{c^2 + d^2}}$   
이라 하고  $\sin A_{P'}$ 를 정하면 식(4.9)를 얻는다.

$$\sin A_{P'} = \frac{f\lambda - g\Phi - f\Phi g\lambda}{\sqrt{(f\lambda g\Phi - f\Phi g\lambda)^2 + (f\Phi\lambda + g\Phi g\lambda)^2}} \quad (4.9)$$

또한 식 (4.8)과 (4.9)로부터 면적의 왜곡률  $dZ'/dZ$ 은 식(4.10)가 된다.

$$\begin{aligned} \frac{dZ'}{dZ} &= \sqrt{\frac{f\Phi^2 + g\Phi^2}{M^2}} \times \sqrt{\frac{f\lambda^2 + g\lambda^2}{N^2 \cos^2 \Phi}} \\ &\times \frac{f\lambda - g\Phi - f\Phi g\lambda}{\sqrt{(f\lambda g\Phi - f\Phi g\lambda)^2 + (f\Phi\lambda + g\Phi g\lambda)^2}} \end{aligned} \quad (4.10)$$

## 5. 투영왜곡의 비교·분석

TM 및 다면체 투영법의 투영왜곡을 비교·분석하기 위하여 앞장에서 서술한 타원체 요소인 자오선 호장과 평행권 호장 및 타원체 면적 등을 계산한 후 가우스-크뤼거 투영법(TM) 및 다면체 투영법을 활용하여 좌표변환 성과를 구하였다. 또한 투영평면상에서 자오선과 평행권 호장의 투영길이 및 면적을 측정하여 타원체 및 투영평면에서 발생하는 투영 왜곡률을 계산하였다. 연구에 적용된 자오선과 평행권의 호장의 길이 및 면적은 국가기본도 1/50,000, 1/25,000, 1/5,000 및 수치지도 축척 1/1,000에 해당하는 종선(자오선 방향) 및 중선의 직각방향인 횡선(평행권 방향)에 대하여 계산하였으며, 면적은 각 축척별 지도에서 자오선과 평행권이 만드는 지도의 면적을 활용하였다. 또한 위도 또는 경도에 따른 지역별 투영왜곡률의 차이를 확인하기 위하여 연구대상 도엽을 위도  $34^\circ 30' \sim 37^\circ 30'$ , 경도  $125^\circ 30' \sim 128^\circ 30'$ 에 대하여 16개 지역에 대하여 축척별로 16개 도엽을 선택하였다. 또한 TM투영법의 기준자오선은  $125^\circ$ ,  $127^\circ$ ,  $129^\circ$ 를 기준으로 하였으며, 선 중대율은 1.0000으로 하였다. TM 및 다면체

투영의 투영기준면은 Bessel 타원체이다. 프로그램에 입력되는 데이터는 지도의 좌측하단 및 우측상단의 좌표이며, 계산을 통한 타원체 요소 및 투영평면 요소 그리고 축척별 투영 왜곡률은 표 5.1 ~ 4에 표현하였다.

그림 5.1에서 위도  $38^\circ$ 를 기준으로 남쪽 방향으로 I, II, III, IV지역을 구분하고, 경도  $125^\circ 30'$ 을 기준으로 동쪽방향으로 a, b, c, d 지역으로 구분하였다.

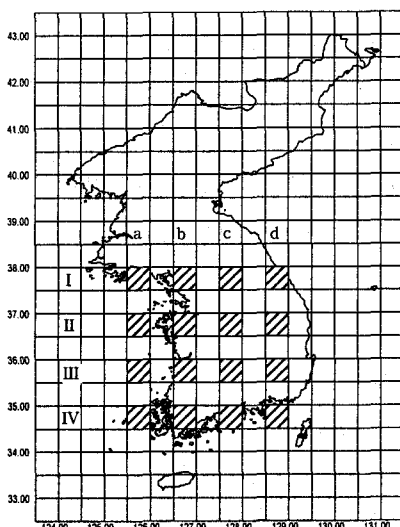


그림 5.1 연구 대상지역(빗줄친 부분)

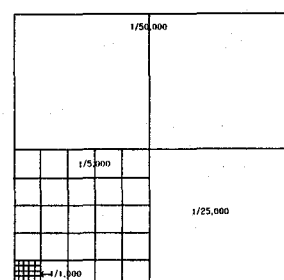


표 5.2 연구대상지역의 Index.

연구를 수행한 결과 타원체 요소의 계산은 표 5.5 ~ 5.8 및 그림 5.3 ~ 5.6에 표현된 바와 같이 타원체의 특성에 따라서 동일 위도권에서는 자오선 호장, 평행권 호장 그리고 타원체 면적의 값은 동일하게 계산되며, 자오선 호장의 경우에는 고위도 지역의 경우에 저위도 지역에 비하여 그 길이가 길게 계산되고 상대적으로

표 5.1 단원체 호장 및 면적 (1/50,000)

1/50,000 도법 입학 죠표				TM 투영체의 거리·면적 및 면적 변형				다면체 투영체의 거리·면적 및 면적 변형							
대상 지역	시·읍 정·면·도	종·읍	자오선 고·경·위도	평형권 고·경·위도	타원체면적 (m <sup>2</sup> )	자오선 고·경·위도	평형권 고·경·위도	평형권 면적변형 변·형	자오선 고·경·위도	평형권 면적변형 변·형	평형권 면적변형 변·형				
IV	a	34500 125.500	34.750 125.500	34.750 125.500	635664088.531	27731.222	2288.197	636642847.820	1.0000259	1.0015649	636516818.202	1.0000008	1.0014988		
	b	34500 126.500	34.750 126.500	34.750 126.500	635664088.531	27731.222	2287.500	636642847.820	1.0000259	1.0015388	636516818.202	1.0000008	1.0014988		
	c	34500 127.500	34.750 127.500	34.750 127.500	635664088.531	27731.222	2288.195	636642847.820	1.0000259	1.0015649	636516818.202	1.0000008	1.0014988		
	d	34500 128.500	34.750 128.500	34.750 128.500	635664088.531	27731.222	2287.600	636642847.820	1.0000259	1.0015388	636516818.202	1.0000008	1.0014988		
III	a	35500 125.500	35.750 125.500	35.750 125.500	629444976.824	27735.775	2289.534	629062478.464	1.0000253	1.0000401	62735.047	22735.047	1.0000008	1.0015557	
	b	35500 126.500	35.750 126.500	35.750 126.500	629444976.824	27735.775	2289.989	629062478.464	1.0000253	1.0000401	62735.047	22735.047	1.0000008	1.0015557	
	c	35500 127.500	35.750 127.500	35.750 127.500	629444976.824	27735.775	2289.544	629062478.464	1.0000253	1.0000401	62735.047	22735.047	1.0000008	1.0015557	
	d	35500 128.500	35.750 128.500	35.750 128.500	629444976.824	27735.775	2289.993	629062478.464	1.0000253	1.0000401	62735.047	22735.047	1.0000008	1.0015557	
II	a	36500 125.500	36.750 125.500	36.750 125.500	60232774.889	27740.384	2285.957	62127741.801	1.0000246	1.0000391	62127741.801	2285.957	62127741.801	1.0000008	1.0016140
	b	36500 126.500	36.750 126.500	36.750 126.500	60232774.889	27740.384	2285.414	62127741.801	1.0000246	1.0000391	62127741.801	2285.414	62127741.801	1.0000008	1.0016140
	c	36500 127.500	36.750 127.500	36.750 127.500	60232774.889	27740.384	2285.957	62127741.801	1.0000246	1.0000391	62127741.801	2285.957	62127741.801	1.0000008	1.0016140
	d	36500 128.500	36.750 128.500	36.750 128.500	60232774.889	27740.384	2286.414	62127741.801	1.0000246	1.0000391	62127741.801	2286.414	62127741.801	1.0000008	1.0016140
I	a	37500 125.500	37.750 125.500	37.750 125.500	61222549.265	27745.043	22104.550	613291689.588	1.0000240	1.0000381	613291689.588	22104.550	613291689.588	1.0000008	1.0016739
	b	37500 126.500	37.750 126.500	37.750 126.500	61222549.265	27745.043	22103.708	613276889.426	1.0000240	1.0000381	613276889.426	22103.708	613276889.426	1.0000008	1.0016739
	c	37500 127.500	37.750 127.500	37.750 127.500	61222549.265	27745.043	22103.708	613291689.588	1.0000240	1.0000381	613291689.588	22103.708	613291689.588	1.0000008	1.0016739
	d	37500 128.500	37.750 128.500	37.750 128.500	61222549.265	27745.043	22103.708	613276889.426	1.0000240	1.0000381	613276889.426	22103.708	613276889.426	1.0000008	1.0016739

52 단위체 호장 및 면적 (1/25,000)

1/25,000 도법 임력 측표				TM 투영평면의 거리, 면적 및 변형				다면체 투영평면의 거리, 면적 및 변형								
대상지역	시 척	총 면적	단위체면적 ( $m^2$ )	차오선	평형면	투영면적	차오선	평형면	면적변형	차오선	평형면	면적변형				
IV	a	34.50 125.50	34.625 125.625	13865.09	11478.628	15933551.760	1479.007	15916187.422	1.0000259	1.0000259	13885.112	11478.629	159152484.552	1.0000001	1.0000001	
	b	34.50 126.50	34.625 126.625	13865.09	11478.628	15933551.760	1478.688	159159759.957	1.0000259	1.0000259	13885.112	11478.629	159152484.552	1.0000001	1.0000001	
	c	34.50 127.50	34.625 127.625	13865.09	11478.628	15933551.760	1478.688	15916187.422	1.0000259	1.0000259	13885.112	11478.629	159152484.552	1.0000001	1.0000001	
	d	34.50 128.50	34.625 128.625	13865.09	11478.628	15933551.760	1478.688	159159759.957	1.0000259	1.0000259	13885.112	11478.629	159152484.552	1.0000001	1.0000001	
III	a	35.50 125.50	35.625 125.625	13867.383	11339.819	157131896.684	13867.744	11340.184	157262731.599	1.0000259	1.0000259	13887.396	11339.820	15725377.360	1.0000001	1.0000001
	b	35.50 126.50	35.625 126.625	13867.383	11339.819	157131896.684	13867.744	11340.184	157262731.599	1.0000259	1.0000259	13887.396	11339.820	15725377.360	1.0000001	1.0000001
	c	35.50 127.50	35.625 127.625	13867.383	11339.819	157131896.684	13867.744	11340.184	157262731.599	1.0000259	1.0000259	13887.396	11339.820	15725377.360	1.0000001	1.0000001
	d	35.50 128.50	35.625 128.625	13867.383	11339.819	157131896.684	13867.744	11340.184	157262731.599	1.0000259	1.0000259	13887.396	11339.820	15725377.360	1.0000001	1.0000001
II	a	36.50 125.50	36.625 125.625	13869.704	11197.548	155181757.252	13870.007	11197.889	155315356.884	1.0000247	1.0000247	1108612.114	11197.548	155306731.112	1.0000001	1.0000001
	b	36.50 126.50	36.625 126.625	13869.704	11197.548	155181757.252	13870.047	11197.761	155313477.811	1.0000247	1.0000247	1108612.114	11197.548	155306731.112	1.0000001	1.0000001
	c	36.50 127.50	36.625 127.625	13869.704	11197.548	155181757.252	13870.047	11197.889	155315356.884	1.0000247	1.0000247	1108612.114	11197.548	155306731.112	1.0000001	1.0000001
	d	36.50 128.50	36.625 128.625	13869.704	11197.548	155181757.252	13870.047	11197.761	155313477.811	1.0000247	1.0000247	1108612.114	11197.548	155306731.112	1.0000001	1.0000001
I	a	37.50 125.50	37.625 125.625	13872.041	11051.856	153183919.120	13872.475	11052.191	153320188.501	1.0000240	1.0000240	1108886.104	11051.857	153311860.508	1.0000001	1.0000001
	b	37.50 126.50	37.625 126.625	13872.041	11051.856	153183919.120	13872.475	11052.191	153318393.501	1.0000240	1.0000240	1108875.104	11051.857	153311860.508	1.0000001	1.0000001
	c	37.50 127.50	37.625 127.625	13872.041	11051.856	153183919.120	13872.475	11052.191	153320188.501	1.0000240	1.0000240	1108886.104	11051.857	153311860.508	1.0000001	1.0000001
	d	37.50 128.50	37.625 128.625	13872.041	11051.856	153183919.120	13872.475	11052.191	153318393.501	1.0000240	1.0000240	1108875.104	11051.857	153311860.508	1.0000001	1.0000001

표 53 타원체 호장 및 면적 (15,000)

1:5,000 도입 임력좌표				TM 투영평면의 거리, 면적 및 변형				다면체 투영평면의 거리, 면적 및 면적			
대상지역	시점	증점경·위도	차오선	평행변환 호	차오선	평행변환 변형	차오선	평행변환 변형	차오선	평행변환 변형	차오선
a	34.500 125.500	34.525 125.525	2772.999	2295.725	6365085.700	2773.071	2295.788	6365385.324	1.0000273	1.0000273	2772.999
b	34.500 126.500	34.525 126.525	2772.999	2295.725	6365085.700	2773.071	2295.782	6365385.684	1.0000260	1.0000247	2772.999
c	34.500 127.500	34.525 127.525	2772.999	2295.725	6365085.700	2773.071	2295.788	6365385.324	1.0000260	1.0000273	2772.999
d	34.500 128.500	34.525 128.525	2772.999	2295.725	6365085.700	2773.071	2295.782	6365385.884	1.0000260	1.0000247	2772.999
a	35.500 125.500	35.525 125.525	2773.455	2267.964	6289123.023	2773.525	2268.024	6290424.673	1.0000253	1.0000266	2773.455
b	35.500 126.500	35.525 126.525	2773.455	2267.964	6289123.023	2773.525	2268.018	6290408.727	1.0000253	1.0000241	2773.455
c	35.500 127.500	35.525 127.525	2773.455	2267.964	6289123.023	2773.525	2268.024	6290424.673	1.0000253	1.0000266	2773.455
d	35.500 128.500	35.525 128.525	2773.455	2267.964	6289123.024	2773.525	2268.018	6290408.727	1.0000253	1.0000241	2773.455
a	36.500 125.500	36.525 125.525	2773.917	2239.599	6211217.157	2773.986	2239.567	6212530.660	1.0000247	1.0000260	2773.917
b	36.500 126.500	36.525 126.525	2773.917	2239.599	6211217.157	2773.986	2239.562	6212515.397	1.0000247	1.0000249	2773.917
c	36.500 127.500	36.525 127.525	2773.917	2239.599	6211217.157	2773.986	2239.567	6212530.660	1.0000247	1.0000260	2773.917
d	36.500 128.500	36.525 128.525	2773.917	2239.599	6211217.157	2773.986	2239.562	6212515.307	1.0000247	1.0000245	2773.917
a	37.500 125.500	37.525 125.525	2774.384	2210.371	6131398.696	2774.451	2210.427	6132723.91	1.0000241	1.0000253	2774.384
b	37.500 126.500	37.525 126.525	2774.384	2210.371	6131398.696	2774.451	2210.427	6132709.082	1.0000241	1.0000229	2774.384
c	37.500 127.500	37.525 127.525	2774.384	2210.371	6131398.696	2774.451	2210.427	6132723.791	1.0000241	1.0000253	2774.384
d	37.500 128.500	37.525 128.525	2774.384	2210.371	6131398.696	2774.451	2210.427	6132709.032	1.0000241	1.0000229	2774.384

1/1,000 도법 임력표				TM 푸영면의 거리, 면적 및 면적 변형				단면체 푸영면의 거리, 면적 및 면적 변형			
대상지역	시점 경·위도	차오식 호장(m)	평행구 호장(m)	터원체 면적 (m <sup>2</sup> )	차오식 호장	푸영면 호장	차오식 면적변형 변형	차오식 평형면 변형	차오식 터원면적	차오식 평형면 변형	차오식 면적 변형
a	34.500 125.500	34.505 125.505	554.598	459.145	254633.825	554.613 459.157	254654.724	1.0000262	1.0000262	554.598	459.1451
b	34.500 126.500	34.505 126.505	554.598	459.145	254633.825	554.613 459.156	254654.592	1.0000262	1.0000257	554.598	459.1451
c	34.500 127.500	34.505 127.505	554.598	459.145	254633.825	554.613 459.157	254654.724	1.0000262	1.0000262	554.598	459.1451
d	34.500 128.500	34.505 128.505	554.598	459.145	254633.825	554.613 459.156	254654.592	1.0000262	1.0000257	554.598	459.1451
a	35.500 125.500	35.505 125.505	554.690	453.592	251595.696	554.704 453.604	251616.312	1.0000253	1.0000256	554.690	453.5928
b	35.500 126.500	35.505 126.505	554.690	453.592	251595.696	554.704 453.604	251616.184	1.0000253	1.0000251	554.690	453.5928
c	35.500 127.500	35.505 127.505	554.690	453.592	251595.696	554.704 453.604	251616.312	1.0000253	1.0000256	554.690	453.5928
d	35.500 128.500	35.505 128.505	554.690	453.592	251595.696	554.704 453.604	251616.184	1.0000253	1.0000251	554.690	453.5928
a	36.500 125.500	36.505 125.505	554.782	447.901	248480.230	554.796 447.913	248500.561	1.0000247	1.0000250	554.782	447.9019
b	36.500 126.500	36.505 126.505	554.782	447.901	248480.230	554.796 447.912	248500.459	1.0000247	1.0000245	554.782	447.9019
c	36.500 127.500	36.505 127.505	554.782	447.901	248480.230	554.796 447.913	248500.561	1.0000247	1.0000250	554.782	447.9019
d	36.500 128.500	36.505 128.505	554.782	447.901	248480.230	554.796 447.912	248500.459	1.0000247	1.0000245	554.782	447.9019
a	37.500 125.500	37.505 125.505	554.876	442.074	245288.253	554.889 442.085	245308.297	1.0000241	1.0000243	554.876	442.0742
b	37.500 126.500	37.505 126.505	554.876	442.074	245288.253	554.889 442.084	245308.179	1.0000241	1.0000238	554.876	442.0742
c	37.500 127.500	37.505 127.505	554.876	442.074	245288.253	554.889 442.085	245308.297	1.0000241	1.0000243	554.876	442.0742
d	37.500 128.500	37.505 128.505	554.876	442.074	245288.253	554.889 442.084	245308.179	1.0000241	1.0000238	554.876	442.0742

## TM 및 다면체 投影法의 比較考察

평행권 호장 및 타원체 면적의 경우에는 저위도 지방이 보다 길고, 넓게 계산됨을 알 수 있다. 한편 타원체 요소 및 투영평면 요소와의 관계식  $m_A = \overline{P'P'_1}/\overline{PP_1}$ 에서  $m_A = 1$ 로 표현되는 경우에는 거리의 왜곡이 없는 이상적인 상태를 의미한다. 그러나 연구결과 표 1~4에서 확인할 수 있듯이 타원체에서 평면으로의 투영은 왜곡은 반드시 수반됨을 알 수 있으며, 축척 별로 동일한 위도권에서 타원체 요소와 투영평면요소 사이의 평균 왜곡량은 표 5.5~5.8과 같고, 그림 5.3~5.6은 축척별 그리고 연구대상지역별로 투영요소의 왜곡량을 표현하고 있다.

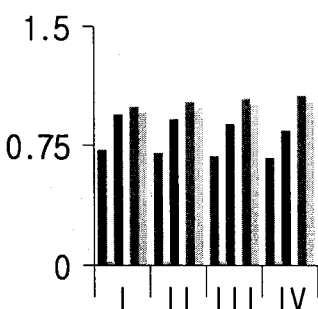


그림 5.3 적용 영역별 왜곡량

표 5.5 1/50,000도면의 평균 왜곡량

투영법\지역	I	II	III	IV
자오선 (m)	TM	0.072	0.070	0.0680
	다면체	0.021	0.022	0.023
평행권 (m)	TM	0.940	0.910	0.880
	다면체	0.006	0.006	0.006
면적 ( $Km^2$ )	TM	0.99	1.02	1.04
	다면체	0.95	0.98	1.00

그림 5.3, 5.4, 5.5, 5.6는 가로 방향 순서로 I, II, III, IV지역의 자오선, 평행권 그리고 면적의 왜곡량을 표현하고 있으며, 그림 5.6의 경우에는 면적의 단위를  $0.1 Km^2$ 에 대한  $1/1,000$  값으로 표현하였다.

표 5.6 1/25,000 도면의 평균 왜곡량

투영법\투영지역		I	II	III	IV
자오선 (m)	TM	0.35	0.35	0.34	0.33
	다면체	0.003	0.003	0.003	0.003
평행권 (m)	TM	0.37	0.36	0.35	0.34
	다면체	0.001	0.002	0.0008	0.0008
면적 ( $Km^2$ )	TM	0.13	0.13	0.13	0.13
	다면체	0.12	0.12	0.12	0.12

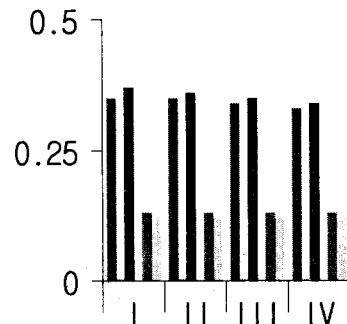


표 5.7 1/5,000 축척 도면의 평균 왜곡량

투영법\투영지역	I	II	III	IV
자오선 (m)	TM	0.072	0.070	0.068
	다면체	0.000	0.000	0.000
평행권 (m)	TM	0.063	0.060	0.058
	다면체	0.000	0.000	0.000
면적 ( $Km^2$ )	TM	0.00129	0.00113	0.00129
	다면체	0.00095	0.00097	0.0001

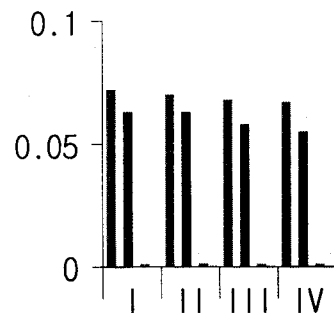


표 5.8. 1/1,000 축척 도면의 평균 왜곡량

오차량 \ 투영지역	I	II	III	IV
자오선오차 (m)	TM	0.0144	0.0141	0.0137
	다면체	0.0000	0.0000	0.0000
평행권오차 (m)	TM	0.0120	0.0116	0.0111
	다면체	0.0000	0.0000	0.0000
면적오차	TM	0.0201	0.0201	0.0200
	다면체	0.0076	0.0080	0.0080

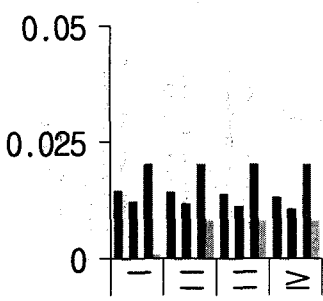


그림 5.6. 적용지역별 왜곡량

한편, 지도를 제작 할 때에 도형을 표현하는 최소간격을 0.05mm로 하고 사람의 도형에 대한 최소 분해능력이 0.02mm인 점을 감안할 때에 TM 투영법의 경우에는 1/50,000 축척에서 자오선 호장의 최대 투영오차인 0.72m는 지도상에서 0.014mm, 그리고 평행권 호장의 경우 최대 투영오차 0.94m는 지도상에서 0.018mm로 표현되고 1/25,000, 1/5,000, 1/1,000 등으로 대축척화 되어도 투영오차가 도상에 표현될 때 0.02mm 이하의 값을 유지하고 있음을 알 수 있다.

상대적으로 다면체 투영법의 경우에는 1/50,000 축척에 있어서 자오선 호장의 투영오차가 2.4cm 그리고 평행권 호장의 투영오차가 0.6cm 임으로 다면체 투영의 경우에는 투영오차가 매우 작음을 알 수 있다. 또한 1/5,000, 1/1,000 등 대축척의 경우에는 자오선 및 평행권 호장의 투영오차가 0m에 가까운 수치를 표현하므로 상당히 정확한 값을 유지하고 있음을 알 수 있다. 즉, 표 5.1 - 5.4에서 확인 할 수 있는 바와 같이 다면체 투영법의 경우에는 TM 투영법에 비교할 때에 자오선 및 평행권의 경우에는 상당한 정확도를 확보하고

있음을 알 수 있어 지도제작 축면에서 도형 요소를 표현하는데 있어서 단일 도엽만으로 사용하는 경우에는 거의 문제가 없음을 확인할 수 있다. 한편, 지도의 축척에 따라서 투영왜곡에 의한 허용범위의 한계가 달라질 수 있으므로 지도의 축척별 허용오차 범위의 규정이 필요하다 할 수 있다. 지도의 축척별 허용오차의 한계는 측량의 위치오차와 인식오차의 관계에서 정의 할 수 있다.<sup>7,8)</sup> “대축척 지도제작을 위한 항측 기법에 관한 연구”(국립지리원, 1985)에 의하면 지도의 허용오차 범위는 다음 식으로 정의된다.

$$\begin{aligned} m_i &= \frac{1}{4} \times d \times S \\ m_s &= \sqrt{(0.014Sm)^2 - m_i^2} \\ e &= \sqrt{m_s^2 + \sigma_{xy}^2} \end{aligned} \quad (5.1)$$

단위 : cm,  $m_i$  : 인식오차,  $m_s$  : 측량오차(cm),  $e$  : 지도의 허용오차,  $d$  : 도화기 부점의 직경,  $S$ : 항공사진 음화축척 분모,  $Sm$ : 지도의 축척분모,  $\sigma_{xy}$  : 1, 2, 3등 삼각점의 절대오차(3cm)를 의미한다.

지도의 허용오차는 지도의 정확도를 고려하는 것인데 지도오차의 주요원인은 1점의 위치오차, 2점의 상대오차, 대지표정오차, 지점표고오차, 사진모델오차 도화오차, 제도오차 등이 있다. 그러나 지도오차의 원인을 분석해보면 측량오차와 인식오차로 대별할 수 있다.<sup>8)</sup> 따라서 본 연구에서는 지도의 측량오차와 인식오차를 고려한 지도의 축척별 허용오차를 고려하여 허용오차의 한계를 식(5.1)에 의하여 계산하였으며, 그 결과는 표 9에서 1/50,000 지형도의 경우 1/25,000 지형도의 편집도 이므로 오차의 허용한계를 1/25,000과 동일하다고 정의하였으며, 도화기 부점(Floating mark)의 직경은 아날로그 방식에 의한 값을 채택하고 항공사진의 음화 축척을 1/37,500의 경우를 고려하였다. 상대적으로 1/1,000지형도의 오차의 허용한계는 수치도화(해석도화기 활용)를 하는 경우에 있어서 음화축척을 1/5,000 그리고 도화기 부점의 직경을 40  $\mu\text{m}$ 로하여 계산한 값이다.

표 5.9 축척별 지도의 허용오차 (단위 : m)

지도축척	인식오차	측량오차	지도의 허용오차
1/1,000	0.05	0.14	0.14
1/5,000	0.28	0.69	0.69
1/25,000	0.65	3.4	3.4
1/50,000	0.65	3.4	3.4

표 5.9에서 1/1,000 지형도의 경우에 있어서 지도의 허용오차 범위가 14cm로 규정되었으며 TM 투영법의 경우에는 자오선 호장의 투영오차가 1.4cm 그리고 평행권 호장의 투영오차가 1.2cm인 점을 고려할 때 투영오차가 지도의 허용오차에 포함되고 있음을 알 수 있다. 상대적으로 다면체 투영법의 경우에는 거리 및 면적의 투영오차가 거의 없으므로 자오선 및 타원체 호장의 투영상의 문제점이 작다고 볼 수 있다. 표 5.7에 의하면 1/5,000지형도의 경우에는 오차의 허용한계를 69 cm로 규정하고 있으며, 이를 기준으로 할 때에 TM의 경우에는 허용범위 내에 들어오고 있음을 알 수 있다. 또한 1/25,000, 1/50,000축척 또한 투영오차 1m 이내이므로 TM 투영의 경우에는 투영왜곡이 지도의 활용에 있어서 거리 및 면적의 투영오차가 허용범위 이내이고, 다면체 투영의 경우에는 표 5.5-5.8에서 알 수 있듯이 모든 축척에 대하여 투영오차가 지도의 허용오차 범위에 들어오고 있음을 확인 할 수 있다. 면적의 왜곡에서는 TM투영법 및 다면체 투영법에 의한 투영은 투영평면의 면적이 타원체에 비하여 미소하나마 크게 계산되고 있음을 알 수 있으며, 투영 왜곡량이 각 축척별 실제 면적에 차지하는 면적 비는 표 5.10과 같이 표현된다.

표 5.10에서 알수 있는 바와 같이 TM 투영법 및 다

표 5.10 투영 면적비

축 척	투영법	투영 면적 (Km <sup>2</sup> )	왜곡 면적 (Km <sup>2</sup> )	면적비(%)
1/50,000	TM	636.661	1.02	0.16
	다면체	636.610	0.98	0.15
1/25,000	TM	159.162	0.13	0.08
	다면체	159.152	0.12	0.075
1/5,000	TM	6.367	0.0012	0.02
	다면체	6.366	0.00095	0.015
1/1,000	TM	0.255	0.00020	0.008
	다면체	0.246	0.00008	0.003

면체 투영법에 의한 면적의 왜곡 즉 투영 면적비가 1/50,000의 경우 TM 투영법에서 0.16 % 그리고 다면체 투영법에서 0.15%로 미소하게 표현되고 있으며, 1/1,000 축척의 경우에는 TM 투영법의 경우 0.008%, 다면체 투영법의 경우에는 0.003%로서 투영 면적비를 통하여 판단 할 때에 현재 투영 왜곡량에 대한 규정은 없으나 면적이 자오선 호장 및 평행권 호장에 의하여 계산되고, 이들 값이 허용범위 내에 있음을 고려할 때에 두 가지의 투영법에 의한 왜곡이 지도제작에 미치는 영향은 크지 않을 것으로 판단된다.

## 6. 결 론

본 연구는 우리나라의 국가기본도 1/50,000, 1/25,000, 1/5,000 그리고 국가 지리정보 구축사업(NGIS)의 수치지도 입력에 있어서 가장 대축척인 1/1,000 지형도에 해당하는 타원체상의 자오선 호장, 평행권 호장 그리고 타원체 면적과 이들 요소가 TM 투영법과 다면체 도법을 통하여 평면직각좌표로 변환함, 이때 발생하는 투영왜곡과 지도의 허용오차 범위를 비교·분석하여 TM 투영법에 대한 정확도 검증과 다면체 투영법의 활용가능성을 확인하고자 했으며, 연구 결과는 다음과 같다.

- 지도를 제작 할 때에 도형(선분)을 표현하는 최소간격을 0.05mm로 하고 사람의 도형에 대한 최소분해 능력이 0.02mm인 점을 감안할 때에 TM 투영법의 경우 1/50,000 축척에서 자오선 및 평행권 호장 최대 투영오차가 지도상에서 0.014mm, 0.018mm로 표현되고 있고 대축척 되어도 투영오차가 도상에 표현될 때 0.02mm 이하의 값을 유지하고 있음을 알 수 있어 TM 투영오차가 지도제작에 있어 문제가 되지 않음을 검증할 수 있다.
- 1/1,000 지형도의 오차의 허용한계는 수치도화(해석도화기 활용)를 하는 경우 음화축척을 1/5,000 그리고 도화기 부점의 직경을 40μ으로 하여 계산하여 약 14cm이다. 또한 TM 투영법이 1/1,000 지형도의 경우에 자오선 호장의 투영오차가 14cm 그리고 평행권호장의 투영오차가 12cm인 점을 고려할 때 투영오차가 지도의 허용오차에 포함되고 있음을 알

수 있다.

3. 투영에 있어서 면적의 왜곡은 그 투영면적비가

$1/50,000$ 의 경우 TM 투영법에서  $0.16\%$  그리고 다 면체 투영법에서  $0.15\%$ 로 미소하게 표현되고 있 으며,  $1/1,000$  축척의 경우에는 TM 투영법의 경우  $0.008\%$  다면체 투영법의 경우에는  $0.003\%$ 로서 두 가지의 투영법에 의한 면적의 왜곡이 지도제작에 미치는 영향은 크지 않을 것으로 판단된다.

4. 다면체 투영법의 경우에는  $1/50,000$  축척에 있어서

자오선 호장의 투영오차가  $2.4\text{cm}$  그리고 평행권 호 장의 투영오차가  $0.6\text{cm}$ 로 투영오차가 미소하다. 또 한, 대축척 화되면서  $1/5,000$ ,  $1/1,000$  축척의 경우에 는 자오선 및 평행권 호장의 투영오차 및 왜곡률이  $0\text{m}$ 에 가까운 수치로 표현되고 있어 상당히 정확한 값을 유지하고 있음을 알 수 있다. 한편,  $1/1,000$ 축 척의 경우에 투영오차 및 왜곡률이 가장 이상적인 1에 근사한 값으로 계산됨을 확인 할 때 다면체 도 법에 의한 중·대축척 지도제작의 가능성을 확인할 수 있었다. 그러나 다면체 도법의 활용에 있어서는 축척의 단계에 따른 좌표값의 유지 및 도면의 접합 문제 등에 관한 보다 체계적인 연구가 필요 할 것으로 예상된다.

## 참 고 문 헌

1. R.H.Rapp, "Geometric Geodesy Part I", OSU, pp. 36 - 45, 1989.
2. 최재화, "우리나라 평면직각좌표에 관한 연구", 한국 측지학회지 제1권 2호, pp. 42 - 59, 1983.
3. 조규전, "TM투영에서의 좌표변환에 관한 연구" 한 국측지학회지, 제 14 권 2호, pp. 119 - 126, 1996.
4. 日本測量協會, "現代測量學 別卷1 實用地圖學", 大日本印刷(株), pp. 82, 1983.
5. P. Richardus & K.Adler, "Map Projections for geodestists, Cartographer & Geographers" North-Holland com, pp. 1 - 120 1974.
6. L.Hradilek & A.C.Hamilton, "A Systematic Analysis of Distortions in Map Projection", Lecture-Note of The N.B, pp 3-14, 1973.
7. 국립지리원 보고서, "대축척지도제작을 위한 항축기 법에 관한연구", pp. 71 - 85. 1985.
8. 최재화, 조제윤, "우리나라 대축척지도제작을 위한 최적지도투영법의 선택에 관한 연구", 한국측지학회지 제 5권 1호, pp. 23 - 31, 1987.
9. 日本測量協會, "現代測量學 第 1 卷 測量の 數學的基礎", 大日本 印刷(株), pp. 30 -34, 1983.